

Identifikácia zložiek éterických olejov relatívnymi adsorpčnými indexmi

VACLAV KOMAN – SID' AHMED TALEB-BENDIAB –FAWZIE BEN MENNI

Súhrn. V práci sa uvádzajú spôsob, ako využiť Martinove R_M hodnoty formou ich relatívnych diferencií oproti trvalému štandardu *n*-alkánov, tvoriacich na tenkej vrstve adsorbentu vždy prvého zónu, a potom aj formou relatívnych adsorpčných indexov (RAI) ako pomerov hodnôt jednotlivých zložiek skúmanej zmesi oproti *n*-alkánu a druhej, na chromatograme zvolenej retardovanejzej zložky.

Pre výpočty Deckerových R_C hodnôt sa pôvodný výraz upravil tak, že skupinová konštantă $R_{M(-CH_3)}$ sa v ňom nahradza strednou hodnotou druhých diferencií R_M hodnôt rozdelených látok.

Na výpočet týchto údajov sa vypracoval samostatný program v jazyku BASIC. Získané údaje poskytujú pre skúmanú zmes látok určitý numerický obraz, ktorý môže byť pomocou na kvalitatívno-štruktúrny opis jednotlivých látok v zmesiach na vzájomné porovnávanie zmesí ako celkov po rozdelení na tenkých vrstvach silikagélového adsorbentu. Celú skupinu látok možno tak porovnať vcelku i jednotliovo pomocou „standardizovaného intervalu“ zmesi látok *Artemisia absinthium* (modelová) a *Artemisia arborescens* (skúmaná) zvolenej za základ.

Teoretická časť

V oblasti prírodných zmesí látok, akými sú éterické oleje, značným problémom zostáva možnosť rýchlej identifikácie a štruktúrneho opisu jednotlivých zložiek zmesi. To aj preto, lebo potrebné porovnávanie štandardy sú prakticky stále ľahko dostupné.

V zameraní sa na identifikačné i štruktúrne možnosti analýzy látok sa dote-

Doc. Ing. Václav Komán, DrSc., Študijný odbor technológie tukov a mlieka, Katedra technickej mikrobiológie a biochémie, Chemicko-technická fakulta SVŠT, Radlinského 9, 812 37 Bratislava.

Prof. Dr. Sid' Ahmed Taleb-Bendiab, Magst. Fawzie Ben Menni, INES de Biologie, B. P. 358, 130 00 Tlemcen, Algérie.

raz úspešne uplatňujú spôsoby uvedené napr. Martinom a Syngom [1], resp. Wehrliom a Kovatsom [2].

V prvom prípade ide o uplatnenie lineárno-aditívneho funkčného vzťahu R_M hodnôt, v druhom ide o vyjadrenia pomocou diferencií elučných dát skúmanej látky v relácii k homologickému radu parafinických n -alkánov.

$$R_{M(A)} = oR_{M(X)} + nR_{M(Y)} + mR_{M(Z)} + \dots K, \quad (1)$$

kde $R_M = \log 1/R_F - 1$, A – látka, X, Y, Z, \dots – určité funkčné skupiny, o, m, n – počet týchto funkčných skupín, K – základná konštantá chromatografického systému.

Modifikáciou podľa Deckera [3] sa získa vzťah

$$R_C = R_{M(\text{látka})} - R_{M(\text{základ})}/R_{M(-\text{CH}_2-)}, \quad (2)$$

kde $R_{M(-\text{CH}_2-)}$ = skupinová konštantá skupiny $-\text{CH}_2-$.

V interpretácii podľa Kovatsa

$$R_I = \frac{\log V_{N(A)} - \log V_{N(z)}}{\log V_{N(z+n)} - \log V_{N(z)}} 100z + 100n, \quad (3)$$

kde V_N je normálny elučný objem, z, n – počty C atómov použitých parafinických n -alkánov, a keď platí, že $V_{N(A)} > V_{N(z)} < V_{N(n+z)}$.

Naznačené spôsoby (formulácie) sa najviac uplatňujú v oblasti rozdeľovacích chromatografických metód (GLC, PC).

Pri našom štúdiu zloženia a štruktúr éterických olejov paliny drevitej (*Artemisia arborescens*), ktorá rastie zatiaľ neplantážované v oblasti severozápadnej Afriky, konkrétnie v oblasti krajského mesta Tlemcen [4], sme použili chromatografiu na tenkých vrstvách adsorbentov, silikágu a oxidu hliníka.

Pri nedostatku porovnávacích látok a štandardov i nemožnosti využiť identifikačno-štruktúrne vzťahy (1)–(3) modifikovali a overovali sme možnosť nepriameho numerického kódovania oproti „bezfunkčnému“ uhlíkovodíku, resp. v intervale <uhlíkovodík, (naj)polárnejšia zvolená zložka>. Opis a zdôvodnenie toho je predmetom tejto práce, na čo sme zostavili a použili aj samostatný program v jazyku BASIC.

Materiál a metódy

Na izoláciu éterických olejov z kvetov paliny drevitej (*Artemisia arborescens*) z oblasti Tlemcen (Alžírsko), sme aplikovali destilačnú metódu vodnou parou podľa Moritza [5]. Z kondenzátu sa éterické oleje vyextrahovali v rozdeľovacom lieviku do chloroformu. Zvyšok rozpúšťadla sa odstránil prúdom oxidu uhličitého pri teplote miestnosti.

Chromatografická analýza sa robila na tenkých vrstvách silikagélového adsorbentu Merck, aktivizovaného 30-minútovým záhrevom pri 110 °C.

Chromatogramy sme využívali v týchto rozpúšťadlových sústavách:

- benzén + etylacetát = 95 + 5 (v/v),
- benzén + metanol = 95 + 5 (v/v),
- chloroform + benzén = 75 + 25 (v/v),
- benzén spôsobom opakovaného využívania.

Chromatogramy sme detegovali:

- parami jódu (dôkaz prítomnosti násobných väzieb),
- postrekom 1 % roztokom vanilínu v kyseline sírovej a 5-minútovým záhrevom pri 110 °C,
- pod UV lampou s filtrom 360 nm.

Základnou experimentálnou podmienkou pri príprave chromatogramov na tenkých vrstvách adsorbentov v uvádzanej koncepcii relatívnych adsorpčných indexov bol prídavok *n*-alkánového štandardu k zmesi skúmaných éterických olejov (povinný štandard).

Ako modelovú vzorku éterických olejov sme použili éterický olej z paliny pravej (*Artemisia absinthium*) a ako základné R_F hodnoty tie, ktoré sú uvedené v práci Darwisha a kol. [6] a reprodukované v tab. 1.

Relatívny adsorpčný index (RAI) sa vypočíta podľa výrazu, ktorý sme modifikovali do formy

$$RAI_i = (k_1 - a_i)/(k_2 - a_i) \cdot 100, \quad (4)$$

kde k_1 je pomer R_M hodnôt štandardnej uhľovodíkovej zóny, t. j. 1, a_i – pomerné R_M hodnoty jednotlivých $i = 1, 2, 3, \dots, n$ zón oproti R_M hodnote štandardnej uhľovodíkovej zóny, $k_2 - R_M$ (naj)polárnejšej zvolenej zóny na danom chromatograme.

V prípade poslednej (*n*-tej) zóny sa na výpočet zodpovedajúcej hodnoty relatívneho adsorpčného indexu použije výraz

$$RAI_n = (k_1 - a_n)/k_2, \quad (5)$$

T a b u l k a 1. R_F hodnoty éterických olejov paliny pravej (*Artemisia absinthium*) po rozdelení na tenkej vrstve silikagélu sústavou benzén-etylacetát (95 : 5, v/v)Table 1. R_f values of etheric oils from *Artemisia absinthium* after separation on a silica gel thin layer in the mobile phase benzene-ethyl acetate (95 : 5, v/v)

Zóna ¹	R_F	Látka ²
1	0,97	<i>n</i> -alkán ³
2	0,92	azulén ⁴
3	0,86	nerylacetát ⁵
4	0,73	?
5	0,66	cineol ⁶
6	0,59	<i>p</i> -cymén ⁷
7	0,51	nerol ⁸
8	0,44	tujón ⁹
9	0,38	?
10	0,31	?
11	0,27	?
12	0,21	?
13	0,12	?
14	0,07	?

¹ – Zone, ² – Compound, ³ – *n*-Alkane, ⁴ – Azulene, ⁵ – Nerylacetate, ⁶ – Cineol, ⁷ – *p*-Cymene,

⁸ – Neroli, ⁹ – Thujone.

ktorý je dopĺňajúcim výpočtom, indikuje posledný výpočet a jeho úprava zabraňuje ilegálnemu deleniu nulou.

Na vlastný výpočet R_M hodnôt, ich diferencií (skupinových konštánt, ktoré vzhľadom na odlišnosť adsorpčných afinitných princípov od rozdeľovacích uvažujeme ako „štruktúrne konštanty“), ich všetkých pomerných hodnôt atď. sa po nameraní R_F hodnôt na príslušných chromatogramoch použil výpočtový program, ktorý bol zostavený a opísaný už skôr [7].

Na výpočet vlastných RAI sme pripravili separátny program v jazyku BASIC na PC IBM XT, ktorý pri hľadanej hodnote RAI umožňuje ešte dodatkový výpočet Deckerovej R_C hodnoty. Úplný výpis algoritmu uvedeného programu je v prílohe 1.

Výsledky a diskusia

Pretože výrazy (1) a (2) v ich pôvodných formách nemožno v oblasti adsorpčno-chromatografických metód plne aplikovať a preto pôvodná formulácia (3) nachádza optimálne identifikačno-štruktúrne uplatnenie v oblasti rozdeľovacích chromatografických metód (najmä GLC), modifikovali a overovali sme možnosť numerického kódovania jednotlivých zložiek éterických

olejov vo vzťahu k trvalému štandardu *n*-alkánov, ktorý je povinný, resp. v druhom spôsobe vyjadrenia formou RAI, t. j. v intervale celého chromatogramu <pôv. *n*-alkán. (naj)retardovanejšia zložka>. Na výpočty hodnôt RAI sme formulovali a použili výrazy (4) a (5) a zostavili vlastný výpočtový program.

V bežných podmienkach identita nejakej látky alebo jej štruktúrny opis vyžadujú disponovať s väčším počtom porovnávacích štandardov. Ich pomocou sa stanoví ΔR_M hodnota ako tzv. skupinová konštantă, ktorá je v podstate priemernou $\bar{\Delta}R_M$ hodnotou totožných funkčných skupín v nejakom homologickom rade látok. Zjednodušene to znázorňuje schéma 1.



To je však možné iba v prípade, keď jednotlivé zóny na chromatograme sú látky líšiace sa iba definovaným prírastkom – inkrementom. V takom prípade stredná hodnota diferencií R_M hodnôt susediacich zón (látok) vyjadruje hľadanú R_M hodnotu príslušnej skupinovej konštanty. Tá sa dá potom použiť v zmysle Martinových úvah, resp. výrazu (1). Konkrétnejšie to možno doložiť príkladom určenia skupinovej konštanty $R_{M(-CH_2)}$ podľa Šandu a kol. [8], čoho podklady zhŕňa tab. 2.

Pretože jednotlivé éterické oleje sa na tenkej vrstve adsorbantu nerozdeľujú podľa pravidelného skupinového inkrementu, určenie skupinovej konštanty v zmysle schémy 1, resp. tab. 2, nie je logicky možné. Taká hodnota by sa nemohla vzťahovať iba na určitú – definovanú funkčnú skupinu.

Tabuľka 2. Príklad určenia skupiny $-CH_2-$ pomocou výpočtu jej skupinovej konštanty
 $R_{M(-CH_2)}$

Table 2. An example of the determination of the $-CH_2-$ group on the basis of the calculation of its group constant $R_{M(-CH_2)}$

Kyselina dikarboxylová	Počet skupín $-CH_2-$ ²	R_F	R_M	$\frac{R_{Mn} - R_{Mn-1}}{R_{M(-CH_2)}}$
Jantárová ³	2	0,31	0,347	
Glutárová ⁴	3	0,48	0,035	-0,312
Adipová ⁵	4	0,64	-0,234	-0,269
Pimelová ⁶	5	0,77	-0,524	-0,290

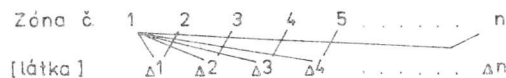
Priemerná hodnota:

$$R_{M(-CH_2)} = -0,290.$$

Average value:

¹ – Dicarboxylic acid, ² – Number of $-CH_2-$ groups, ³ – Succinic, ⁴ – Glutaric, ⁵ – Adipic, ⁶ – Pimelic.

V tom zameraní, obchádzajúc súčasne nedostačujúci počet porovnávacích štandardných látok, sú diferencie jednotlivých zón (látok) na tenkej vrstve adsorbentu modifikované v zmysle schémy 2. V nej prvú zónu predstavuje trvalý uhľovodíkový štandard.



V tomto prípade sa hodnoty R_M diferencujú vzhľadom na R_M hodnotu štandardného „bezfunkčného“ uhľovodíka utvárajúceho prvú zónu na tenkej vrstve adsorbentu.

Výpočty hodnôt tohto druhu diferencií „nesusediacich“ zón (látok) umožňuje už uvedený výpočtový program [7]. Do programu uvedeného v tejto práci sa priamo vstupuje s diferenciami schémy 2 uvažovanými v tej forme ako diferencie prvého poriadku.

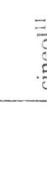
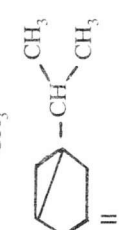
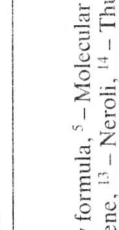
Ďalšia forma identifikačno-štruktúrneho kódovania éterických olejov rozdeľovaných na tenkých vrstvách adsorbentov sa realizuje za súčasného použitia druhého štandardu, ktorý sa volí v skúmanej zmesi ako zložka (naj)retardovannejšia. Substitúciami do výrazov (4) a (5) dochádzame k numerickej hodnote RAI, číselne kódujúceho všetky zložky a v určitom zmysle aj ich štruktúry v celom zvolenom intervale schémy 2. Hodnotu RAI možno potom definovať ako pomer diferencií pomerov R_M hodnôt všetkých zložiek na TV adsorbente v reláciach oproti štandardnému uhľovodíku v druhej n -tej zvolenej zóne. Pritom druhý zvolený štandard môže byť kvalitatívne i štruktúrne definovanou zložkou na chromatograme, nemusí to však byť podmienkou.

Rozdelenie modelovej zmesi éterických olejov z *Artemisia absinthium* na tenkej vrstve adsorbentu so zodpovedajúcimi kvalitatívnymi i štruktúrnymi údajmi ukazuje tab. 3. Dokazuje, že jednotlivé éterické oleje nie sú rozdelené podľa svojich mólových hmotností, ako by to nevyhnutne bolo v prípade rozdeľovacích metód (porovnaj tab. 2), ale podľa určujúcich rozdielov adsorpčných koeficientov, to znamená celým súborom štruktúrnych determinantov, ktorými príslušné zložky éterického oleja disponujú.

Paralelne s hodnotami RAI sme ešte verifikovali spoluuplatnenie Deckero-vých R_C hodnôt, ktoré môžu byť potenciálnym spoluidentifikátorom kvalitatívnych i štruktúrnych parametrov skúmaných zmesí éterických olejov. Pôvodná formulácia výrazu (2) uvažuje s diferenciami R_M hodnôt jednotlivých zložiek oproti skupinovej konštante $R_{M(-CH_2-)}$.

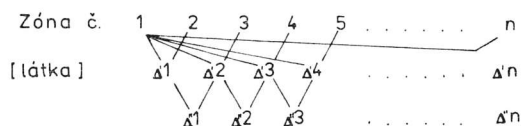
T a b u l k a 3. Štruktúry niektorých éterických olejov v reláciach k vypočítaným vzájomným differenciám R_M a differenciám R_M hodnot vzhľadom na zónu uhlovodíkov po rozdeľení na tenkej vrstve silikagélu dom na zónu uhlovodíkov po rozdeľení na tenkej vrstve silikagélu

T a b l e 3. Structures of some ether oils in relations to the calculated mutual R_M differences and R_M differences relatively to the hydrocarbon zone after separation on a silica gel thin layer

Zóna ¹	Skupinová konštantă ²	Diferenčná konštantă oproti uhlovodíkom ³	Sumárny vzorec ⁴	Môľová hmotnosť ⁵	Štruktúrny vzorec ⁶	Látka ⁷
1	0,449	0,449	C_nH_{2n}		$CH_3(CH_2)_nCH_3$	uhlovodík ⁸
2	0,272	0,721	$C_{10}H_{12}$	133,06		azulén ⁹
3	0,356	1,077	$C_{12}H_{20}O_2$	195,03	$CH_3-C=CH(CH_2)_2-C=CH-CH_2-OCO-CH_3$	nerylacetát ¹⁰
4	0,129	1,352	$C_{10}H_{18}O$	154,25		cineol ¹¹
5	0,141	1,492	$C_{10}H_{16}$	134,20		<i>p</i> -cymén ¹²
6	0,122	1,614	$C_{10}H_{18}O$	154,25	$CH_3-C=CH(CH_2)_2-C=CH-CH_2OH$	nerol ¹³
7	0,107	1,722	$C_{10}H_{16}O$	154,24		tujón ¹⁴

¹ – Zone, ² – Group constant, ³ – Differential constant against hydrocarbons, ⁴ – Summary formula, ⁵ – Molecular weight, ⁶ – Structural formula,
⁷ – Compound, ⁸ – Hydrocarbon, ⁹ – Azulene, ¹⁰ – Nerylacetate, ¹¹ – Cineol, ¹² – *p*-Cymene, ¹³ – Neroli, ¹⁴ – Thujone.

Takáto hodnota je v prípade adsorpčných chromatografických metód nereálna, modifikuje sa v našom poňatí do pojmu „štruktúrna konštant“ [15], resp. priemerna hodnota diferencií druhého poriadku v zmysle schémy 3:



Priemernú hodnotu druhej diferencie, naznačujúcu konvergenciu k nule, berieme za racionálnu a substituujeme ju do výrazu (2) namiesto pôvodnej hodnoty $R_{M(-CH_2-)}$.

V tom zmysle sme doplnili a upravili celý uvádzaný výpočtový program doložený prílohou 1. Pomocou neho vypočítané hodnoty relatívnych adsorpčných indexov, ako aj modifikovaných R_C hodnôt uvádza tab. 4. Sú priamou kópiou hodnôt i formátu vypisovaných počítačom. Druhým – zvoleným – štandardom v modelovej zmesi éterických olejov z *Artemisia absinthium* bol tujón. Výsledky tab. 4 sa teda vzťahujú na interval, ktorého limitujúcimi zónami sú $(n\text{-alkán}, \text{tujón})$, t. j. oba štandardy, daný i zvolený, sú kvalitatívne i štruktúrne už známe.

Tabuľka 5 je priamou kópiou hodnôt i formátu vypísaných počítačom v podmienkach vypracovaného algoritmu a zhŕňa všetky zložky éterických olejov z *Artemisia absinthium*, t. j. v celom intervale na chromatograme detegovaných zložiek: $(n\text{-alkán}, \text{posledná zóna})$. Druhý štandard intervalu je v tomto prípade a v tomto čase ešte kvalitatívne i štruktúrne neidentifikovanou látkou, resp. charakterizovanou na TV adsorbente iba svojou základnou R_F hodnotou.

Možno doplniť, že za rovnakých pracovných podmienok budú všetky tieto hodnoty pre danú zmes éterických olejov konštantné a danú zmes numericky reprodukovateľne charakterizujúce ako jej určitý matematický obraz. Vlastné experimentálne údaje R_F hodnôt a sfarbenia jednotlivých zložiek zmesi éterického oleja z *Artemisia arborescens* po rozdelení na tenkej vrstve silikagelového adsorbentu, vyvinutí v rozpúšťadlovej sústave benzén–etylacetát = 95:5 (v/v) a detegovaní rozličnými činidlami uvádza tab. 6. Tabuľka 7 zhŕňa rovnaké experimentálne údaje; vyvíjacou sústavou je čistý benzén a použila sa technika viacstupňového využívania. Z týchto výsledkov TLC analýzy sa mohli kvalitatívne identifikovať iba zložky s charakteristickým zafarbením, azulén (R_F 0,64, resp. 0,95 – modré zafarbenie) a gófor (R_F 0,18, resp. 0,19 – ružové zafarbenie).

Príloha 1

```
NOM: INDRELI
10 REM VYPOCET RELATIVNEHO ADSORPCNEHO INDEXU
20 OPTION BASE 1
30 PRINT „PRVA N-ALKANOVA ZONAj = KONSTANTA C1 = ?“; INPUT C1
40 PRINT „POSLEDNA POMERNA ZONA K N-ALKANU = KONSTANTA C2 = ?“;
INPUT C2
50 PRINT „POCET VSETKYCH ZON = ?“; INPUT N
60 DIM A/N, RA /N, DF /N + 1/, R/N/, A$/100/, AI/N/, B$/35/, C$/35/, X$/23/
70 A$ = “-----“
80 B$ = „PRIEMERNA HODNOTA PRVEJ DIFERENCIE: “ : C$ = „PRIEMERNA
HODNOTA DRUHEJ DIFERENCIE:“
90 FOR J = 1 TO N
100 PRINT“RELATIVNA RM HODNOTA ZONY K N-ALKANU = ?“
110 PRINT J; :INPUT A/J/: NEXT J
120 FOR J = 1 TO /N-1/
130 PRINT „UDAT DIFERENCIU RM alkanu – RM latky
140 PRINT J; :INPUT DF /J/:DX = DX + DF/J/:NEXT J:DD = DX/ N-1
150 FOR J = 1 TO N
160 IF J = N THEN GOTO 190
170 RA/J/ = C1-A J / C2-A J 100
180 GOTO 200
190 RA/J/ = C1-A J / C2 100
200 NEXT J
210 FOR J = 1 TO /N-2/
220 AI/J/ = DF/J/ - DF/J + 1/
230 A2 = A2 + AI/J/:NEXT J
240 A3 = A2/ N-2
250 FOR J = 2 TO /N/
260 R/J/ = DF J-1 /A3:NEXT J
270 PRINT „Nº TAB/10/“RMrel“ TAB/26/„RAI“ TAB/40/“Pdif“ TAB/50/„RC“ TAB/60/COM-
POSE“:LPRINT „Nº TAB/10/“RMrel“ TAB/26/„RAI“ TAB/40/“Pdif“ TAB/50/„RC“ TAB/60/
„COMPOSE“
280 PRINT A$:LPRINT A$
290 FOR J = 1 TO N
300 PRINT J TAB/9/A/J/ TAB/23/USING „# #####.#“;RA/J/,:LPRINT J TAB/9/ A/J/
TAB/23/USING „# #####.#“;RA/J/,
310 PRINT TAB/37/DF/J/ TAB/47/USING „# ##.## #“;R/J/,:LPRINT TAB/37/ DF/J/
TAB/47/USING „# ##.## #“;R/J/
320 PRINT „VYPISAT MENO ZLOZKY, POKRACOVAT STLACENIM F5“: INPUT X$
330 PRINT TAB/58/X$:LPRINT TAB/58/X$
340 STOP
350 NEXT J
360 PRINT A$:LPRINT A$
370 PRINT B$,DD:LPRINT B$,DD
380 PRINT C$,A3:LPRINT C$,A3
390 PRINT A$:LPRINT A$
400 LPRINT Pozn. RMrel = relatívna RM hodnota n-alkánu, RAI = relatívny adsorpčný index,
Pdif = prvá differencia, RC = upravená Deckerova hodnota.
410 PRINT:LPRINT
420 BEEP:END
```

T a b u l k a 4. Výsledné údaje relatívnych absorpčných indexov (RAI) a R_C hodnôt vypočítaných v intervale *n*-alkán, tujón, modelovej zmesi éterických olejov *Artemisia absinthium*Table 4. Final data on the relative adsorption indices (RAI) and the R_C values computed in the interval *n*-alkane, thujone, of the model mixture of etheric oils from *Artemisia absinthium*

Č. ¹	$R_{Mrel.}$	RAI	$P_{dif.}$	R_C	Látka ²
1	1	0,00	0	0,000	<i>n</i> -alkán ³
2	0,702	38,63	-0,449	-2,312	azulén ⁴
3	0,5222	80,75	-0,721	-3,712	nerylacetát ⁵
4	0,286	200,84	-1,0777	-5,548	?
5	0,191	310,56	-1,2216	-6,289	cineol ⁶
6	0,1047	513,95	-1,3815	-7,113	<i>p</i> -cymén ⁷
7	0,01151	1220,21	-1,4923	-7,683	nerol ⁸
8	-0,0695	1538,85	-1,6144	-8,312	tujón ⁹

a – priemer prvých diferencií; average of the first differences: -1,136786.

b – priemer druhých diferencií, average of the second differences: 0,1942333.

 $R_{Mrel.}$ – pomerná hodnota k *n*-alkánu; relative value to *n*-alkane; $P_{dif.}$ – prvá differencia; first difference; R_C – upravená Deckerova R_C hodnota; modified Decker's R_C value.¹ – No., ² – Compound, ³ – *n*-Alkane, ⁴ – Azulene, ⁵ – Nerylacetate, ⁶ – Cineol, ⁷ – *p*-Cimene, ⁸ – Neroli, ⁹ – Thujone.T a b u l k a 5. Výsledné údaje relatívnych absorpčných indexov (RAI) a modifikovaných R_C hodnôt vypočítaných v celom intervale *n*-alkán, tujón, modelovej zmesi éterických olejov *Artemisia absinthium*Table 5. Final data on the relative adsorption indices (RAI) and the modified R_C values computed in the interval *n*-alkane, thujone, of the model mixture of etheric oils from *Artemisia absinthium*

Č. ¹	$R_{Mrel.}$	RAI	$P_{dif.}$	R_C	Látka ²
1	1	0,00	0	0,000	<i>n</i> -alkán ³
2	0,702	20,61	-0,449	-2,467	azulén ⁴
3	0,5222	37,73	-0,721	-3,962	nerylacetát ⁵
4	0,286	69,31	-1,0777	-5,921	?
5	0,191	86,51	-1,2216	-6,712	cineol ⁶
6	0,1047	105,48	-1,3815	-7,591	<i>p</i> -cymén ⁷
7	0,01151	130,82	-1,4923	-8,199	nerol ⁸
8	-0,0695	158,54	-1,6144	-8,870	tujón ⁹
9	-0,141	189,19	-1,7222	-9,463	?
10	-0,23	239,25	-1,8571	-10,204	?
11	-0,286	280,72	-1,9416	-10,668	?
12	-0,381	380,34	-2,0851	-11,457	?
13	-0,5732	920,54	-2,2749	-12,499	?
14	-0,7441	234,39	-2,633	-14,467	?

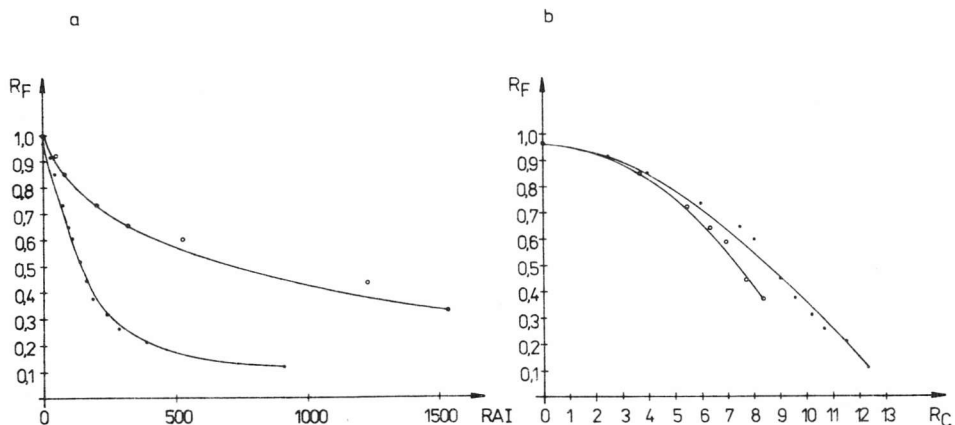
For explanations see Table 4.

T a b u l k a 6. Experimentálne údaje éterických olejov *Artemisia arborescens*, namerané po rozdelení na tenkej vrstve silikagélu vyvýjacou sústavou benzén-etylacetát (95 : 5, v/v) po detegovaní rôznymi prostriedkami

T a b l e 6. Experimental data on etheric oils from *Artemisia arborescens* measured after separation on a silica gel thin layer in the mobile phase benzene-ethyl acetate (95 : 5, v/v) and after detection by different agents

Zóna ¹	R_F	Bez detekcie ²	Zafarbenie ³		
			UF ⁴	pary I_2 ⁵	vanilín/ H_2SO_4 ⁶
1	0,67	zelená ⁷	fialové ¹²		
2	0,65	modrá ⁸	tmavofialové ¹³		
3	0,54				
4	0,46				
5	0,42				
6	0,31	oranžová ⁹	fialové ¹²		
7	0,25		fialové ¹²		
8	0,19	hnedá ¹⁰	fialové ¹²		
9	0,17		fialové ¹²		
10	0,14		jasnofialové ¹¹		
11	0,12		fialové ¹²	tmavohnedé ¹⁴	tmavozelené ¹⁶
12	0,05	jasnofialová ¹¹	fialové ¹²	tmavofialové ¹³	fialové ¹²

¹ – Zone, ² – Without detection, ³ – Colour, ⁴ – UV, ⁵ – I_2 vapour, ⁶ – Vaniline/ H_2SO_4 , ⁷ – Green, ⁸ – Blue, ⁹ – Orange, ¹⁰ – Brown, ¹¹ – Light purple, ¹² – Purple, ¹³ – Dark purple, ¹⁴ – Dark brown, ¹⁵ – Pink, ¹⁶ – Dark green.



Obr. 1. Priebeh závislosti vypočítaných relatívnych adsorpčných indexov (RAI) (a) a modifikovaných Deckerových R_C hodnôt na experimentálne nameraných R_F hodnotách (b).

Fig. 1. Course of independence of calculated relative adsorption indices (RAI) (a) and modified Decker's R^C values on experimentally measured R_F values (b).

T a b u ľ k a 7. Experimentálne údaje éterických olejov *Artemisia arborescens*, namerané po rozdelení na tenkej vrstve silikagélu po trojnásobnom vyvinutí v čistom bazéne a po detegovaní rôznymi prostriedkami

T a b l e 7. Experimental data on etheric oils from *Artemisia arborescens* measured after separation on a silica gel thin layer developed three times in benzene and after detection by different agents

Zóna ¹	R_F	Bez detekcie ²	Zafarbenie ³		
			UF ⁴	pary I_2 ⁵	vanilín/ H_2SO_4 ⁶
1	0,97		zelenkasté ¹²		
2	0,94	modrá ⁷	tmavofialové ¹³		tmavofialovoze- lené ¹⁷
3	0,84		tmavofialové ¹³		
4	0,81		tmavofialové ¹³		
5	0,66		tmavofialové ¹³		
6	0,62	zelenomodrá ⁸	tmavofialové ¹³	tmavozelené ¹⁶	hnedomodré ¹⁸
7	0,52		fialové ¹¹		
8	0,40		fialovoružové ¹⁴		jasnomodré ¹⁹
9	0,35		jasnofialové ¹⁵		
10	0,33		tmavofialové ¹³		
11	0,24	zelenohnedá ⁹	tmavofialové ¹³		
12	0,23		tmavofialové ¹³		
13	0,21		tmavofialové ¹³		
14	0,18		fialové ¹¹		ružové ²⁰
15	0,13		tmavofialové ¹³		
16	0,10	jasnohnedá ¹⁰	jasnofialové ¹⁵		
17	0,09		jasnofialové ¹⁵		
18	0,06	modrá ⁷	jasnofialové ¹⁵		
19	0,04		fialové ¹¹		
20	0,02	fialová ¹¹	tmavofialové ¹³		

For explanations 1–6 see Table 6. ⁷ – Blue, ⁸ – Green-blue, ⁹ – Green-brown, ¹⁰ – Light brown, ¹¹ – Purple, ¹² – Greenish, ¹³ – Dark purple, ¹⁴ – Purple-pink, ¹⁵ – Light purple, ¹⁶ – Dark green, ¹⁷ – Dark purple-green, ¹⁸ – Brown-blue, ¹⁹ – Light blue, ²⁰ – Pink.

Numerické obrazy éterických olejov v podobe RAI a R_C hodnôt vypočítaných z R_F hodnôt uvedených v tab. 6 a 7 pomocou uvádzaného výpočtového programu zhrňujú tab. 8 a 9. Všetky tieto hodnoty sú z intervalu (uhlôvodíková, posledná (neznáma) zóna).

Priebehy závislostí vypočítaných RAI a modifikovaných Deckerových R_C hodnôt od experimentálne nameraných R_F hodnôt znázorňuje obr. 1. Z neho vidieť, že závislosti v oboch prípadoch predstavujú nelinearity, ktorých smery sú inverzné. Tým možno RAI i hodnoty R_C s určitou aproksimáciou získať jednoduchým extrapolovaním.

Ked sme ako kritérium optimálnej regresie použili korelačný koeficient $r_{x,y}$, dôslednou regresnou analýzou k obr. 1 sa zistilo, že najpresnejšie approximujúci bude výraz obecného tvaru

$$y = k \ln x + q,$$

kde $y = RAI$, resp. R_C , $x = R_F$.

K nemu nájdené konkrétné regresné koeficienty a ďalšie štatistické informácie zhŕňa tab. 10.

T a b u ľ k a 8. Výsledné údaje relatívnych adsorpčných indexov (RAI) a modifikovaných R_C hodnôt vypočítaných v intervale < n -alkán, posledná zóna> zmesi éterických olejov Artemisia arborescens z podkladov v tabuľke 6

T a b l e 8. Final data on the relative adsorption indices (RAI) and the modified R_C values computed in the interval < n -alkane, last zone> of the mixture of etheric oils from *Artemisia arborescens* from the data in Table 6

Č. ¹	$R_{Mrel.}$	RAI	$P_{dif.}$	R_C	Látka ²
1	1	0,00	0	0,000	<i>n</i> -alkán ³
2	0,8741205	2,50	-3,871563	-0,250	azulén ⁴
3	0,2264136	17,65	-0,237925	-1,537	?
4	-0,2264133	31,20	-0,3771968	-2,437	
5	-0,5022749	41,10	-0,4620411	-2,986	?
6	-1,129816	70,34	-0,6550483	-4,233	?
7	-1,551307	97,89	-0,7846821	-5,070	?
8	-2,047501	144,42	-0,9372922	-6,056	?
9	-2,239001	168,81	-0,9961901	-6,437	?
10	-2,563299	223,48	-1,095931	-7,081	?
11	-2,813431	283,68	-1,178862	-7,617	?
12	-4,137725	123,57	-1,586315	-10,250	?

a – priemer prvých diferencií; average of the first differences: -0,7591091.

b – priemer druhých diferencií; average of the second differences: 0,1547599.

For explanations see Table 4.

Z uvedených interpretácií funkčných závislostí éterických olejov rôznych rastlinných druhov vyplýva, že sa dajú navzájom preukázaťne diferencovať rôznymi, ale individuálne totožnými matematicko-numerickými i grafickými opismi – obrazmi. To znamená, že určitú zmes éterických olejov (i iných prírodných látok) možno zvoliť za základnú – štandardnú (v našom prípade *Artemisia absinthium*). Potom pri skúmaní zmesí nových, neznámych látok možno pracovať už bez individuálnych porovnávacích čistých látok, alebo charakterizovať rozdelené látky – zóny na TLC – matematicko-numerickými a grafickými obrazmi pomocou celých „standardizovaných intervalov“.

V závere možno uviesť, že hoci sú jednotlivé zložky éterických olejov z *Artemisia arborescens* z alžírskej oblasti Tlemcen, okrem majoritného azulénu a charakteristicky sfarbeného gáfru, menovite nedefinované, máme pomocou uvádzaného programu a postupu ich matematicko-numerické opisy, ktoré za rovnakých pracovných podmienok budú konštantné. Spresnením

T a b u l k a 9. Výsledné údaje relatívnych adsorpčných indexov (RAI) a modifikovaných R_C hodnôt vypočítaných v intervale «*n*-alkán, posledná zóna» zmesi éterických olejov *Artemisia arborescens* z podkladov v tabuľke 7

T a b l e 9. Final data on the relative adsorption indices (RAI) and the modified R_C values computed in the interval «*n*-alkane, last zone» of the mixture of etheric oils from *Artemisia arborescens* from the data in Table 7

Č. ¹	$R_{Mrel.}$	RAI	$P_{dif.}$	R_C	Látka ²
1	1	0,0	0,00	0,000	<i>n</i> -alkán ³
2	0,79156	10,91	-0,31467	-1,963	
3	0,477037	32,75	-0,789492	-4,925	
4	0,4360028	36,24	-0,85111	-5,310	
5	0,1408326	68,16	-1,297043	-8,092	
6	-1,150868E-02	91,28	-1,527025	-9,527	
7	-0,0230266	93,29	-1,544414	-9,635	
8	-0,2168441	134,79	-1,83701	-11,461	
9	-0,2575829	145,89	-1,898512	-11,844	
10	-0,3160474	163,78	-1,986773	-12,395	
11	-0,3988073	194,07	-2,111711	-13,175	
12	-0,4561512	219,48	-2,19828	-13,715	
13	-0,4770868	229,89	-2,229811	-13,911	
14	-0,4990077	241,55	-2,262979	-14,118	
15	-0,5731798	287,91	-2,374953	-14,817	
16	-0,6320946	334,79	-2,46339	-15,369	
17	-0,7441354	464,53	-2,633086	-16,427	
18	-0,8470522	677,71	-2,788405	-17,396	
19	-0,9142583	932,26	-2,889863	-18,029	
20	-1,119594	189,32	-3,199848	-19,963	

a – priemer prvých diferencií; average of the first differences: -0,957809.

b – priemer druhých diferencií; average of the second differences: 0,1602874.

For explanations see Table 4.

kvalitatívnych či štrukturálnych charakteristík jednotlivých zložiek – zón éterických olejov z *Artemisia arborescens* na TLC inými analytickými metódami – zostanú tieto nami získané údaje pre každú zložku jej numerickým identifikačno-štrukturým vyjadrením.

V práci uvádzaná koncepcia môže nájsť aplikáčné uplatnenie aj pri použití vysokotlakovej kvapalinovej chromatografie (HPLC), keď vstupnými údajmi budú hodnoty elučných časov alebo objemov.

Za pomoc pri vypracúvaní výpočtového programu ďakujeme doc. dr. Milošovi Vallovi, CSc. a Ing. Jurajovi Komanovi.

) and the modified R_C values com-

mac oils from *Artemisia arborescens*

R_C	Látka ²
0,00(0)	<i>n</i> -alkán ³
-1,963	
-4,925	
-5,510	
-8,092	
-9,527	
-9,635	
-11,461	
-11,844	
-12,595	
-13,175	
-13,715	
-13,911	
-14,118	
-14,817	
-15,369	
-16,427	
-17,396	
-18,029	
-19,963	
-0,9578(09)	
-0,1602874.	

livých zložiek – zón éteric-
analytickými metódami –

i jej numerickým identifi-

čením uplatnenie aj pri použíti
), keď vstupnými údajmi

dakujeme doc. dr. Milo-

T a b u l k a 10. Výsledky regresnej analýzy funkčných závislostí R_C a RAI hodnôt od nameraných R_F hodnôt éterických olejov *Artemisia absinthium* (modelovej) a *Artemisia arborescens* (skúmanej)

Table 10. Results of the regression analysis of the function dependences of R_C and RAI values from the R_F values of etheric oils from *Artemisia absinthium* (modelled) and *Artemisia arborescens* (investigated)

Regresný – approximujúci výraz ¹	Korelačný koeficient ² ($h_{x,y}$)	Rozptyl ³		Smerodajná odchýlka ⁴		Počet meraní ⁵
		y	x	y	x	
$RAI = 379,55 \ln x + 115,67$ (a)	0,883	105 807,1	3314,3	325,28	57,57	14
$RAI = 142,51 \ln x + 73,53$	0,980	12 056,0	0,570	109,77	0,755	12
$R_C = 4,316 \ln x + 3,399$ (a)	0,794	17,279	0,573	4,159	0,757	14
$R_C = 3,963 \ln x + 0,843$	0,990	9,139	0,570	3,023	0,755	12

a – pre éterické oleje modelovej *Artemisia absinthium*; For etheric oils from the model *Artemisia absinthium*.

x – R_F hodnoty; R_F values.

Literatúra

1. MARTIN, A. J. P. – SYNGE, R. L. M., Biochem. J., 35, 1941, s. 1358.
2. WEHRLI, A. – KOVATS, E., Helv. Chim. Acta, 42, 1959, s. 270.
3. DECKER, P., Naturwissenschaften, 45, 1958, s. 464.
4. TALEB-BENDIAB, S. A. – KOMAN, V. – BEN MENNI, F.: Príspevok k izolácií, analýze a štruktúrnej determinácií zložiek Artemisia arborescens v oblasti Tlemcen (ADLR). Výsledky výskumu éterických olejov na INES de Biologie, Tlemcen, Algérie 1989 (doteraz nepublikované).
5. MORITZ, O.: Moderne Methoden der Pflanzenanalyse. III. Berlin Springer-Verlag, 1955.
6. DARWISH, M. S. – EL SHAAMY, A. M. – SOULIMAN, F. M. – EL SHABRAWY, A. O., Bull. Fac Pharm. (Cairo), 16, 1979, s. 85.
7. KOMAN, V. – KOMAN, J., Bull. potrav. Výsk. (v tlači).
8. ŠANDA, V. – PROCHÁZKA, Ž. – LE MOHL, H., Chem. Listy, 52, 1956, s. 1546.

Do redakcie došlo 10. 8. 1989

Identification of the components of etheric oils using the relative adsorption indices

Summary

The paper presents a way of utilization of the Martin's R_M values in the form of their relative differences against a permanent standard of *n*-alkanes which always form the first zone on thin layer of an adsorbent; additionally, the relative adsorption indices (RAI) as comparative values of the individual components of the mixture under study against the *n*-alkane and another, more retarded component chosen on the chromatogram, were also used.

For the calculation of the Decker's R_C values, the original expression had been modified so that the group constant $R_{M(-CH_2)}$ in it was substituted by the average value of the second differences of the R_M values of the separated compounds.

An independent program in BASIC had been worked out for the computation of these data. The data obtained give a numeric pattern for the mixture under study which can contribute to the qualitative-structural description of the particular compounds in the mixtures as well as to the mutual comparison of the mixtures as a whole, following their separation on thin layers of a silica gel adsorbent. Thus, the group of compounds can be compared as a whole or in particularities using the „standardized interval“ on the basis of the chosen mixture (*Artemisia absinthium* (model) and *Artemisia arborescens* (investigated)).

Идентификация компонентов эфирных масел относительными адсорбционными индексами

Резюме

Работа приводит способ использования R_M величин Мартина формой их относительных разниц по отношению к постоянному стандарту *n*-алканов, образующих на тонком слое адсорбента всегда первую зону и потом тоже формой „ относительных адсорбционных показателей“ в числе сравнительных величин отдельных компонен-

тов определенной смеси по отношению к *n*-алкану и второй, на хромограмме избранного более замедлительного компонента.

Для вычисления R_C величин Декера нужно заменить групповую константу $R_{M(-CH_2-)}$ серединой величиной вторых разниц R_M величин отделенных веществ.

К вычислению вышеприведенных данных авторы составили самостоятельную программу на языке BASIC. Полученные данные показывают для определенной смеси веществ численное изображение и таким образом она является средством для качественно-структурного описания отдельных веществ в смесах, и так же для взаимного сравнивания смесей в общем после отделения на тонких слоях силикагельного адсорбента. Таким образом можно сравнить всю группу веществ в общем и отдельно при помощи „стандартизационного интервала“ в числе основы избранной смеси веществ *Artemisia absinthium* (модельная) и *Artemisia arborescens* (исследованная).